

УДК 621.791.95

Кассов В. Д.  
Малыгина С. В.  
Грибков Э. П.  
Данилюк В. А.

### МАТЕМАТИЧЕСКАЯ МОДЕЛЬ ПРОЦЕССА ПРОКАТКИ ПОРОШКОВОЙ ЛЕНТЫ С УЧЁТОМ ПЛАСТИЧЕСКОЙ ДЕФОРМАЦИИ ОБОЛОЧКИ

При производстве порошковых лент необходимо обеспечить уплотнение сердечника, чтобы он не высыпался из оболочки, сохранение её прочности и геометрических размеров профиля. Основным недостатком существующих математических моделей [1, 2] процесса прокатки порошковой ленты является отсутствие учёта возможности пластической деформации монометаллической оболочки, что снижает точность определения таких результирующих параметров, как конечная плотность порошкового сердечника и его конечная толщина.

Цель работы – разработка математической модели прокатки порошковой ленты, которая бы учитывала помимо деформации порошкового сердечника и пластическую деформацию металлической оболочки.

В основу предлагаемой математической модели положено численное рекуррентное решение конечно-разностной формы условий статического равновесия каждого отдельного выделенного элементарного объема, полученных путем разбиения зоны пластического формоизменения на их конечное множество. Используемая в этом случае расчетная схема интегрального очага деформации представлена на рис. 1.

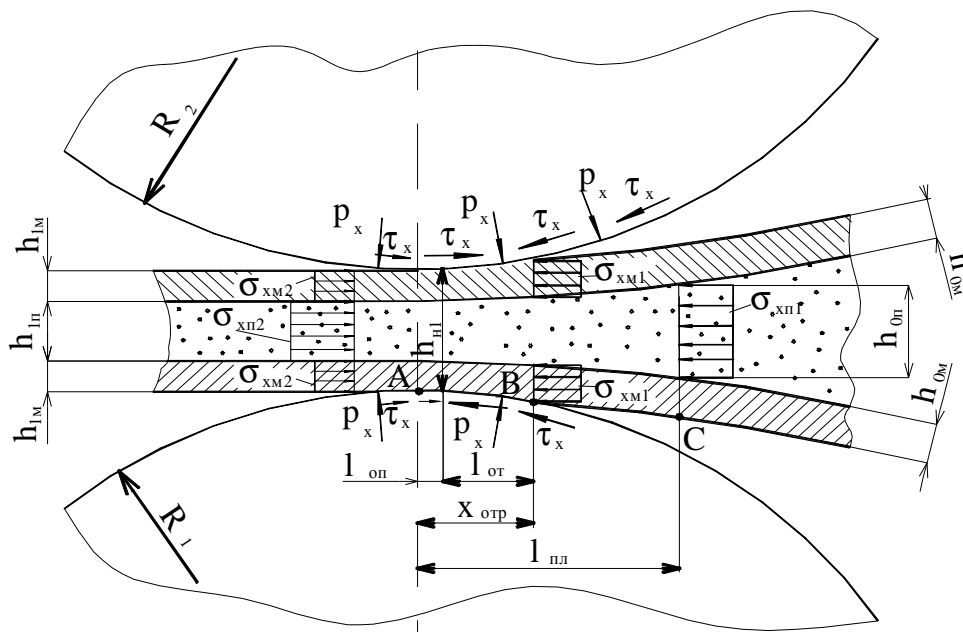


Рис. 1. Расчетная схема интегрального очага деформации

Текущие значения показателей, характеризующих, согласно закону Амонтона, условия трения на контакте порошковой и монометаллической составляющей  $f_x = t_x/p_x$ , а также между слоями  $f_{xлм} = t_{xлм}/p_x$  (рис. 2), определяли с учетом реального характера их распределений по длине очага деформации:

$$f_x = t_x / p_x = f_{от} \left[ \frac{x - l_{он}}{l_{пл} - l_{он}} \right]^{af} \quad \text{при} \quad l_{он} < x \leq l_{пл}; \quad (1)$$

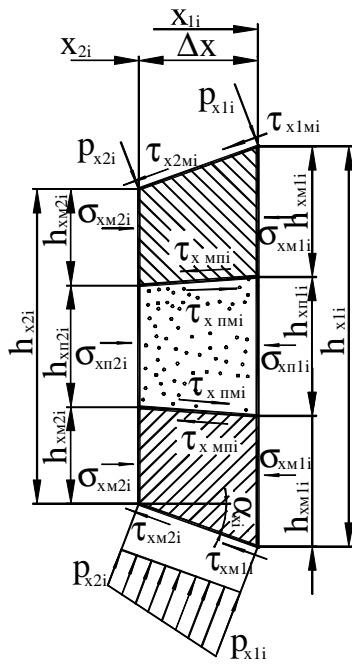


Рис. 2. Расчетная схема выделенного элементарного объема

подчиняется гипотезе плоских сечений;

- граничные сечения зон уплотнения и упругого восстановления вертикальны;
- текущие значения углов контакта  $\alpha_{xi}$ , касательных межслойных (сдвиговых)  $t_{xnm}$  напряжений по длине каждого отдельного  $i$ -го выделенного элементарного объема не изменяются, в то время как изменения нормальных  $p_{xi}$  и касательных  $t_{xi}$ ,  $t_{xnm}$  контактных напряжений носят линейный характер;
- показатели механических свойств, нормальные напряжения  $\sigma_{xn(m)l(2)i}$ , а также кинематические параметры процесса прокатки изменяются только по длине очага деформации, в то время как по толщине каждого отдельного сечения рассматриваемой составляющей их величина остается постоянной.

В случае прокатки композиции порошок – монометаллическая оболочка при отсутствии полученных предварительно межслойных связей скорости перемещения составляющих полосы в очаге деформации будут гарантировано эквивалентны только при условии произошедшей сварки давлением, а, следовательно, только в сечениях, близких к выходу из очага деформации:  $V_{In} = V_{Im} = V_l$ , в то время как в остальных сечениях они будут несколько отличаться друг от друга:  $V_{xn} \neq V_{xm}$  и  $V_{0n} \neq V_{0m}$ . Следовательно, кинематические  $V_{xni}$ ,  $V_{xmi}$ , а вместе с ними и геометрические  $h_{xni}$ ,  $h_{xmi}$  параметры процесса прокатки в этом случае являются неизвестными и подлежат определению. Известными в этом случае являются только значения исходных толщин порошковой  $h_{0n}$  и монометаллической  $h_{0m}$  составляющих.

Согласно используемой рекуррентной форме решения, при которой компоненты  $S_{xm1i}$ ,  $S_{xn1i}$  и  $p_{x1i}$  являются известными исходя из результатов расчета предыдущего ( $i-1$ ) элементарного объема. Полный расчет напряженно-деформированного состояния для  $i$ -го выделенного элементарного объема сводится к определению нормальных  $S_{xn2i}$ ,  $S_{xm2i}$  и нормальных контактных напряжений  $p_{x2i}$  на основе целенаправленного перебора толщин  $h_{xn2i}$ ,  $h_{xm2i}$ , исходя из условия равновесия конечного граничного сечения:

$$p_{x2i} = p_{xn2i} = p_{xm2i} \cdot \tag{4}$$

С целью определения нормальных контактных напряжений  $p_{x2i}$  рассмотрим условия статического равновесия элементарного объема очага деформации, которые будут иметь вид:

$$f_x = t_x / p_x = -f_{on} \left[ \frac{l_{on} - x}{l_{on}} \right]^{a_f} \text{ при } 0 < x \leq l_{on}; \tag{2}$$

$$-f_{xn\ m} = f_{xmn} = -t_{xnm} / p_x = t_{xmn} / p_x = f_{0mn} \left[ \frac{x}{l_{nl}} \right]^{a_{fn\ m}}, \tag{3}$$

где  $f_{om}$ ,  $f_{on}$ ,  $f_{0mn}$  – опорные значения, соответствующие значениям соответствующих коэффициентов трения в сечении на входе ( $x = l_{nl}$ ) и в сечении на выходе ( $x = 0$ ) из зоны уплотнения;

$a_f$ ,  $a_{fn\ m}$  – степенные показатели, характеризующие форму эпюры распределения коэффициентов трения по длине очага деформации ( $a_f = 0.2 \dots 0.5$ );

$n$ ,  $m$  – индексы, обозначающие порошковую и монометаллическую составляющие прокатываемой порошковой ленты;

$l_{on}$  – протяженность зоны опережения.

При разработке математической модели был принят еще ряд следующих основных допущений:

- деформация полосы двумерная и установившаяся во времени, при этом кинематика течения каждого из слоев

– для монометаллической оболочки:

$$\sum F_{xm} = s_{xm2i}h_{xm2i} - s_{xm1i}h_{xm1i} - 0.5\Delta x \cdot (P_{x1i}f_{xm1i} + P_{xm2i}f_{xm2i}) - 0.5\Delta x (P_{x1i}f_{xm1i} + P_{xm2i}f_{xm2i}) + (P_{x1i} + P_{xm2i})(h_{xm1i} - h_{xm2i})/2 = 0; \quad (5)$$

– для порошкового слоя:

$$\sum F_{xn} = s_{xn2i}h_{xn2i} - s_{xn1i}h_{xn1i} - \Delta x (P_{x1i}f_{xm1i} + P_{xn2i}f_{xm2i}) + (P_{x1i} + P_{xn2i})(h_{xn1i} - h_{xn2i})/2 = 0, \quad (6)$$

где за положительные значения нормальных напряжений  $s_x$  приняты напряжения сжатия, а направление действия касательных контактных  $t_{xn(m)}$  и межслойных  $t_{xnm}$  напряжений учтено знаками в функциональных описаниях (10)–(3).

Нормальные напряжения монометаллической составляющей  $s_{x2m}$  будут подчиняться условию пластичности для сплошных сред, а именно:

$$s_x = P_x - 2K_x, \quad (7)$$

где  $2K_x$  – коэффициент удвоенного сопротивления деформации сдвига, который можно определить по формуле:

$$2K_x = 1,155(a_0 + a_1e_x + a_2e_x^2 + a_3e_x^3), \quad (8)$$

здесь  $a_0, a_1, a_2, a_3$  – коэффициенты регрессии, характеризующие интенсивность деформационного упрочнения металла подложки;

$e_x$  – относительная деформация монометаллической составляющей.

Подставив в уравнение (5) условие пластичности для сплошных сред (7) можно определить нормальные контактные напряжения, действующие в монометаллической составляющей на выходе из элементарного объема очага деформации:

$$P_{xm2i} = \left[ 2K_{xm2i}h_{xm2i} + s_{xm1i}h_{xm1i} + \frac{1}{2}P_{xm1i}f_{xm1i}\Delta x + \frac{1}{2}P_{xm1i}f_{xnm1i}\Delta x - \frac{1}{2}P_{xm1i}(h_{xm1i} - h_{xm2i}) \right] / \left[ \frac{1}{2}f_{xm2i}\Delta x - \frac{1}{2}f_{xnm1i}\Delta x + \frac{1}{2}(h_{xm1i} + h_{xm2i}) \right]. \quad (9)$$

Нормальные напряжения  $s_{xn2i}$  можно выразить через соответствующие нормальные контактные напряжения  $p_{xn2i}$ , исходя из условия пластичности для сыпучих сред [3]:

$$p_{xn2i}^2 - 2 \cdot \frac{1 - 2a_{xn2i}}{1 + 4a_{xn2i}} p_{xn2i} s_{xn2i} + s_{xn2i}^2 = \frac{4}{3} \cdot \frac{1 + a_{xn2i}}{1 + 4a_{xn2i}} b_{xn2i} s_{sxn2i}^2, \quad (10)$$

где  $a_{xn2i}, b_{xn2i}$  – текущие по длине очага деформации значения коэффициентов, учитывающих специфику деформации именно порошковой среды;

$s_{sxn2i}$  – текущее значение предела текучести твердой фазы данной порошковой композиции.

Количественно значения коэффициентов  $a_{xn2i}$  и  $b_{xn2i}$ , согласно рекомендациям работы [3] могут быть определены как:

$$a_{xn2i} = a(1 - g_{x2i})^m; \quad b_{xn2i} = g_{x2i}^{2n}, \quad (11)$$

где  $g_{x2i} = r_{x2i}/r_0$  – текущее по длине очага деформации значение относительной плотности;

$r_{x2i}, r_0$  – текущая плотность и плотность твердой фазы данной порошковой композиции;

$a$ ,  $m$ ,  $n$  – постоянные для каждого конкретного состава порошка значения коэффициентов, характеризующих интенсивность изменения  $a_{xn}$  и  $b_{xn}$  в зависимости от изменения показателя относительной плотности  $g_x$ .

Выразив из уравнения (10) величину нормальных напряжений и подставив его в уравнение статического равновесия (6) можно определить нормальные контактные напряжения:

$$p_{xn2i} = \frac{\sqrt{t_{1n}^2 t_{2n}^2 - (t_{1n}^2 - t_{3n})(t_{2n}^2 - t_{4n})} - t_{1n} t_{2n}}{t_{1n}^2 - t_{3n}}, \quad (12)$$

$$\text{где } t_{1n} = \frac{1 - 2a_{xn2i}}{1 + 4a_{xn2i}} h_{xn2i} + \frac{1}{2} (h_{xn1i} - h_{xn2i} - 2f_{xmn2i} \Delta x);$$

$$t_{2n} = 0.5 p_{x1i} (h_{xn1i} - h_{xn2i} - 2f_{xmn2i} \Delta x) - s_{xn1i} h_{xn1i};$$

$$t_{3n} = h_{xn2i}^2 \left[ \left( \frac{1 - 2a_{xn2i}}{1 + 4a_{xn2i}} \right)^2 - 1 \right]; \quad t_{4n} = \frac{4}{3} h_{xn2i}^2 \frac{1 + a_{xn2i}}{1 + 4a_{xn2i}} b_{xn2i} s_{sxn2i}^2. \quad (13)$$

По мере определения  $P_{xn2i}$  и  $P_{xm2i}$  конечную толщину  $h_{x2ni}$  определяли итерационно исходя из условия, как это было уже указано ранее, равенства нормальных контактных напряжений  $P_{xn2i} \gg P_{xm2i}$ :

$$h_{x2ni(k+1)} = h_{x2nik} - A_h \cdot \text{sign}\{p_{x2nik} - p_{x2mik}\}, \quad (14)$$

где в первом цикле  $k$ -ой итерационной процедуры, исходя из первоначального предположения о равенстве вытяжек, принимали  $h_{xn2ik}|_{k=1} = h_{xn1i} h_{x2i} / h_{x1i}$ ;

$A_h$  – шаг изменения толщины слоя, величина которого в зависимости от степени приближения к исходному результату была принята переменной;

$\text{sign}\{p_{xn2i} - p_{xm2i}\}$  – градиентная оценка направления следующего приращения.

Помимо определения текущих толщин составляющих порошковой ленты необходимо также определение текущего значения относительной плотности порошка. Для этого, воспользовавшись зависимостями между главными скоростями пластической деформации  $\dot{\epsilon}_1, \dot{\epsilon}_2$  и главными напряжениями  $s_1, s_2, s_3$  предоставляемыми теорией течения пористых материалов и исходя из условия сохранения массы, результирующее в рамках данного объема значение относительной плотности порошковой среды может быть определено как:

$$g_{x2i} = g_{x1i} h_{xn1i} / [h_{xn2i} (1 + e_{lxn2i})], \quad (15)$$

$$\text{где } e_{lxn2i} = \frac{s_{xn2i} (1 + 4a_{xn2i}) - p_{x2i} (1 - 2a_{xn2i})}{p_{x2i} (1 + 4a_{xn2i}) - s_{xn2i} (1 - 2a_{xn2i})} \cdot \frac{h_{xn1i} - h_{xn2i}}{h_{xn1i}}.$$

В качестве векторной направленности используемой рекуррентной схемы решения принимали направление, соответствующее направлению движения прокатываемой композиции, а в качестве условий связи при переходе от  $i$ -го к  $(i + 1)$  элементарному объему использовали следующие условия:

$$\begin{aligned} x_1(i+1) &= x_2i; h_{x1}(i+1) = h_{x2i}; h_{xn1}(i+1) = h_{xn2i}; h_{xm1}(i+1) = h_{xm2i}; f_{xm1}(i+1) = f_{xm2i}; \\ f_{xn\ m}(i+1) &= f_{xn\ mi}; g_{x1}(i+1) = g_{x2i}; p_{x1}(i+1) \approx p_{xn2i} \approx p_{xm2i}; \\ s_{xn1}(i+1) &= s_{xn2i}; s_{xm1}(i+1) = s_{xm2i}, \end{aligned} \quad (16)$$

где начальные условия, т. е. геометрические и силовые характеристики для первого элементарного объема, соответствовали:

$$\begin{aligned} x_{1i|i=1} = l_{nl}; h_{x1i|i=1} = h_0; h_{xn1i|i=1} = h_{0n}; h_{xm1i|i=1} = h_{0M}; f_{xm1i|i=1} = f_{0n}; \\ f_{xn\ mi|i=1} = f_{0nm}; g_{x1i|i=1} = g_{x0}; s_{xn1i|i=1} = s_{0n}; s_{xm1i|i=1} = s_{0M}; p_{x1i|i=1} = 0, \end{aligned} \quad (17)$$

где  $r_{ym}$  – плотность утряски порошковой среды.

Одной из основных отличительных черт процесса прокатки порошковых материалов на монометаллической подложке является наличие функциональной связи между общей протяженностью длины дуги контакта и толщиной монометалла. Довольно сложным в этом случае будет и характер распределения текущего значения толщины  $h_x$ , количественное описание которого, в первом приближении, можно представить как:

$$h_x = h_1 + \Delta h_x, \quad (18)$$

где  $\Delta h_x$  – текущее значение абсолютного обжатия порошковой композиции [1]:

$$\Delta h_{xn\ i} = 2 \left[ (R_1 + h_{x2.mi}) - \sqrt{(R_1 + h_{xm2i})^2 - x^2} \right] \quad \text{при } x \leq x_{omp}, \quad (19)$$

$$\begin{aligned} \Delta h_{xn\ i} = 2 \left\{ (R_1 + h_{xm2i}) \left[ 1 - \cos \left( \arcsin \left( \frac{x}{R_1 + h_{xm2i}} \right) \right) \right] + (x - x_{omp}) \operatorname{tg} \left( \arcsin \frac{x_{omp}}{R_1 + h_{xm2i}} \right) + \right. \\ \left. + \frac{P_x |_{x=x_{omp}} (l_{nl} - x_{omp})^4}{10 E_{cm} h_{xm2i}^3} \left[ 4 - 5 \frac{l_{nl} - x}{l_{nl} - x_{omp}} + \frac{(l_{nl} - x)^5}{(l_{nl} - x_{omp})^3} \right] \right\} \quad \text{при } x_{omp} < x \leq l_{nl}, \end{aligned} \quad (20)$$

где геометрическая координата точки отрыва  $x_{omp}$ , а вместе с ней и величина нормальных контактных напряжений в данном сечении  $P_{x|x=x_{omp}}$  подлежат дополнительному итерационному определению, исходя из условий  $x_{omp} = x_i$  и  $P_{x|x=x_{omp}} = P_{xi}$  при соответствии чисто геометрического (0) и упруго-деформационного (0) решений в рамках выделенного элементарного объема.

Здесь следует указать на то, что вследствие наличия функциональной взаимосвязи  $l_{nl}(h_x)$  и  $h_x(l_{nl})$  итерационному определению подлежит и общая протяженность зоны уплотнения  $l_{nl}$ . Непосредственно численное определение данной геометрической характеристики осуществляли на основе метода дихотомии [4].

В целом, представленная совокупность аналитических описаний в сочетании с организацией последующего численного интегрирования и определением таких важнейших интегральных показателей исследуемого процесса прокатки, как величина силы  $P$ , среднеинтегральное значение нормальных контактных напряжений  $p_{cp}$  и моменты прокатки на каждом из рабочих валков  $M_1, M_2$  составили полный алгоритм по одномерному численному математическому моделированию процесса прокатки порошковой ленты.

В качестве примера разработанной математической модели на рис. 3 представлены расчётные зависимости локальных характеристик процесса прокатки порошковой ленты. Видно, что максимальные значения нормальных и нормальных контактных напряжений наблюдается в нейтральном сечении очага деформации, а пластическая деформация материала оболочки начинается в последних сечениях очага деформации, когда нормальные контактные напряжения достигают своего максимального значения. При этом интенсивность увеличения относительной плотности сердечника уменьшается по мере выхода порошковой ленты из валков. Установлено, что с увеличением степени деформации наблюдается увеличение как относительной плотности порошка, так и энергосиловых параметров процесса. Однако при относительном обжатии больше 60 % наблюдается пластическая деформации материала оболочки, причем она может превышать 60 %. Это явление подтверждает допущение о возможности пластической деформации материала оболочки, принятое при разработке математической модели. Этим также объясняется снижение интенсивности роста относительной плотности порошкового материала.

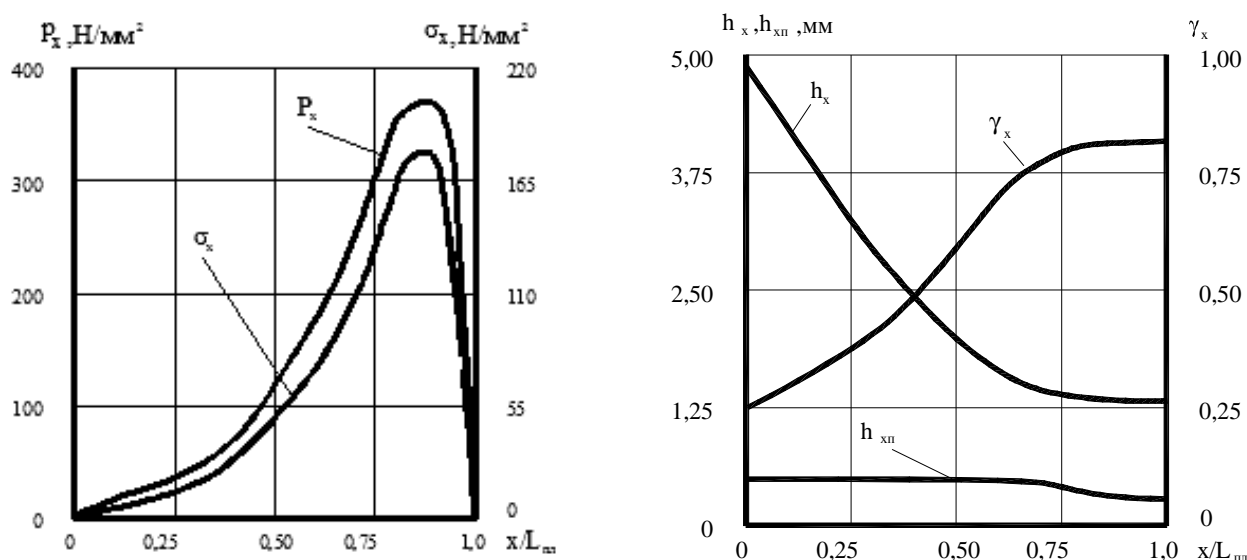


Рис. 3. Расчетные распределения локальных характеристик

### ВЫВОДЫ

На основе численного рекуррентного решения конечно-разностной формы условия статического равновесия выделенного элементарного объема металла разработана одномерная математическая модель процесса изготовления порошковой ленты, особенностью которой является корректный учет законов распределения относительной плотности, механических свойств и геометрических параметров, а также возможность пластической деформации металлической оболочки в очаге деформации. Данная математическая модель и полученные на ее основе программные средства были использованы при разработке технологии электроконтактного плакирования порошковыми лентами изношенных поверхностей деталей энергетических установок. Направление дальнейших исследований – оптимизация состава порошковой ленты, обеспечивающего максимальную износостойкость при работе в условиях абразивного износа.

### ЛИТЕРАТУРА

1. Кассов В. Д. Напряженно-деформированное состояние и кинематика для изготовления порошковой ленты / В. Д. Кассов, Э. П. Грибков // Зб. наук. праць УДМТУ. – Миколаїв : УДМТУ, 2001. – № 4 (376). – С. 64–73.
2. Кассов В. Д. Теоретический анализ и методика расчёта силовых параметров производства порошковой ленты / В. Д. Кассов, Э. П. Грибков И. В. Воленко // Перспективні технології та обладнання обробки тиском в машинобудуванні та металургії : зб. наук. праць. – Краматорськ : ДДМА. – 2001. – С. 104–109.
3. Прогрессивные технологические процессы штамповки деталей из порошков и оборудование / Г. М. Волкогон, А. М. Дмитриев, Е. П. Добряков и др. ; под общ. ред. А. М. Дмитриева, А. Г. Овчинникова. – М. : Машиностроение, 1991. – 320 с.
4. Математическое моделирование формирования износостойких покрытий на рабочих поверхностях деталей электроконтактной наплавкой // Захист металургійних машин від поломок : зб. наук. пр. – Маріуполь : ПДТУ, 2006. – № 9. – С. 39–45.

Кассов В. Д. – д-р техн. наук, проф., зав. кафедрой ПТМ ДГМА;

Малыгина С. В. – канд. техн. наук, ст. преп. кафедры ПМ ДГМА;

Грибков Э. П. – канд. техн. наук, доц. кафедры АММ ДГМА.

Данилюк В. А. – лаборант кафедры ПТМ ДГМА.

ДГМА – Донбасская государственная машиностроительная академия, г. Краматорск.

E-mail: [amm@dgma.donetsk.ua](mailto:amm@dgma.donetsk.ua)